

МИНИСТЕРСТВО ОБРАЗОВАНИЯ И НАУКИ
РОССИЙСКОЙ ФЕДЕРАЦИИ

Федеральное государственное автономное образовательное учреждение высшего
образования
«ЮЖНО–УРАЛЬСКИЙ ГОСУДАРСТВЕННЫЙ УНИВЕРСИТЕТ»
(национальный исследовательский университет)

Политехнический институт: факультет «Автотракторный»

Кафедра «Колесных и гусеничных машин»

Специальность 23.03.02 «Наземные транспортно-технологические комплексы»

ПРОЕКТ ПРОВЕРЕН

Рецензент

_____ (И.О. Ф.)
_____ 2017 г.

ДОПУСТИТЬ К ЗАЩИТЕ

Заведующий кафедрой

_____/ В.Н. Бондарь/
_____ 2017 г.

Разработка задней независимой подвески на автомобиль ВАЗ-2121

ПОЯСНИТЕЛЬНАЯ ЗАПИСКА
К ВЫПУСКНОЙ КВАЛИФИКАЦИОННОЙ РАБОТЕ
ЮУрГУ–23.03.02.394.ПЗ ВКП

Руководитель проекта
доцент, канд. техн. наук
А.Г. Уланов

_____ 2017 г.

Автор проекта
студент группы П-404
Т.В. Абдрахимов

_____ 2017 г.

Нормоконтролер
доцент, канд. техн. наук
В.И. Дуюн

_____ 2017 г.

Челябинск 2017

АННОТАЦИЯ

Абдрахимов Т.В. «Разработка задней независимой подвески на автомобиль ВАЗ-2121» – Челябинск: ЮУрГУ. Кафедра «КГМ» 2017 г.
Пояснительная записка – 87 стр., рисунков – 34, библиографический список – 25, чертежей, плакатов и схем формата А1 – 8, приложение – 1.

Целью данной выпускной квалификационной работы является усовершенствование подвески полноприводного автомобиля малого класса, путём замены задней зависимой подвески на независимую. Разработанное техническое решение может улучшить её устойчивость и управляемость.

В выпускной квалификационной работе произведены следующие расчеты: расчет задней подвески на прочность, кинематический расчёт, выходные параметры задней подвески проектируемого и базового автомобиля.

					<i>23.03.02.2017.394 ПЗ</i>			
<i>Изм.</i>	<i>Лист</i>	<i>№ докум.</i>	<i>Подпись</i>	<i>Дата</i>	Автомобиль ВАЗ-2121 с разработкой задней независимой подвески	<i>Лит.</i>	<i>Лист</i>	<i>Листов</i>
<i>Разраб.</i>		Абдрахимов Т.В.						
<i>Провер.</i>		Уланов А.Г.					3	86
<i>Н. Контр.</i>		Дцюн В.И.				ЮУрГУ Кафедра «КГМ»		
<i>Утверд.</i>		Бондарь В.Н.						

СОДЕРЖАНИЕ

АННОТАЦИЯ.....	3
СОДЕРЖАНИЕ.....	4
ВВЕДЕНИЕ.....	6
1 АНАЛИЗ СУЩЕСТВУЮЩИХ КОНСТРУКЦИЙ	
1.1 Подвеска автомобиля.....	7
1.2 Обзор схем задних подвесок.....	11
1.2.1 Зависимая подвеска «классическая».....	11
1.2.2 Подвеска «Де Дион».....	12
1.2.3 Гидропневматическая подвеска.....	14
1.2.4 Подвеска «Дюбоне».....	17
1.2.5 Многорычажная подвеска.....	19
1.2.6 Независимая подвеска на двойных поперечных рычагах.....	23
2 КОНСТРУКТОРСКАЯ ЧАСТЬ	
2.1 Роль подвески в обеспечении устойчивости автомобиля	33
2.2 Требования к задней подвеске	39
2.3 Разработка кинематической схемы задней подвески	40
2.4 Расчёт показателей устойчивости и управляемости автомобиля для прототипа и разрабатываемой подвески	42
2.4.1 Расчет основных параметров базового и проектируемого автомобиля.....	47
2.4.2 Расчет управляемости базового и проектируемого автомобиля	49
2.5 Прочностной расчёт задней подвески.....	51
2.5.1 Расчёт кинематики подвески	51
2.5.2 Расчет минимальной массы.....	54
2.5.3 Расчет верхнего рычага подвески	59
2.5.4 Расчет нижнего рычага подвески	66
2.5.5 Расчет стабилизатора поперечной устойчивости	71

3 ТЕХНОЛОГИЧЕСКАЯ ЧАСТЬ

3.1 Обоснование выбранных размеров.....	74
3.2 Обоснование выбранной заготовки.....	75
3.3 Разработка технологического процесса.....	75
3.4 Расчет режимов резания.....	78
3.4.1. Токарная операция обработки прутка	78
3.5 Расчет норм времени	80
3.5.1 Токарная операция обработки прутка.....	80
ЗАКЛЮЧЕНИЕ.....	83
БИБЛИОГРАФИЧЕСКИЙ СПИСОК.....	84
ПРИЛОЖЕНИЕ А. СПЕЦИФИКАЦИИ.....	86

									Лист
									5
Изм.	Лист	№ док-м.	Подпись	Дата	23.03.02.2017.394 ПЗ				

На рисунке 1.1 приведена классификация подвесок автомобильного транспорта.



Рисунок 1.1 – Классификация подвесок автомобильного транспорта

Подвеска автомобиля предназначена:

- 1) для снижения интенсивности вибраций и динамических нагрузок, действующих на пассажиров, перевозимый груз и элементы конструкции автомобиля при его движении;
- 2) для осуществления передачи сил и моментов, возникающих от внешних воздействий, как на колеса, так и на несущую систему;
- 3) для демпфирования вертикальных колебаний колес и вертикальных и угловых колебаний несущей системы.

Таким образом, подвеска должна обеспечивать надежный контакт колес с дорогой, необходимый комфорт пассажирам и сохранность грузов, а также снижать вероятность возникновения отказов и неисправностей составных

ниров подвески и деформации самих рычагов) слегка подавались назад, стороны трапеций доворачивали колеса внутрь с целью получения положительного схождения. Вспомогательная тяга, ориентированная косо вперед, при боковом крене автомобиля на повороте обеспечивала некоторый доворот колеса (на угол около 10 градусов), что придавало автомобилю незначительную недостаточную поворачиваемость, при которой он стремился вернуться к прямолинейному движению. В результате автомобиль всегда имел хорошую управляемость и устойчивость.

Среди преимуществ передней многорычажной подвески (рисунок 1.9), необходимо отметить хорошую курсовую устойчивость автомобиля, его способность быстро, четко и однозначно реагировать на управляющие действия водителя, предсказуемое поведение при движении на поворотах и высокий уровень комфорта вне зависимости от изменения нагрузки на передние колеса. Приведенная схема, кроме того, обеспечивает хорошее информативное реактивное действие на рулевое колесо и препятствует «клевкам» автомобиля при торможении, улучшая, таким образом, распределение динамических нагрузок между осями.

					<i>23.03.02.2017.394 ПЗ</i>	<i>Лист</i>
<i>Изм.</i>	<i>Лист</i>	<i>№ докцм.</i>	<i>Подпись</i>	<i>Дата</i>		22

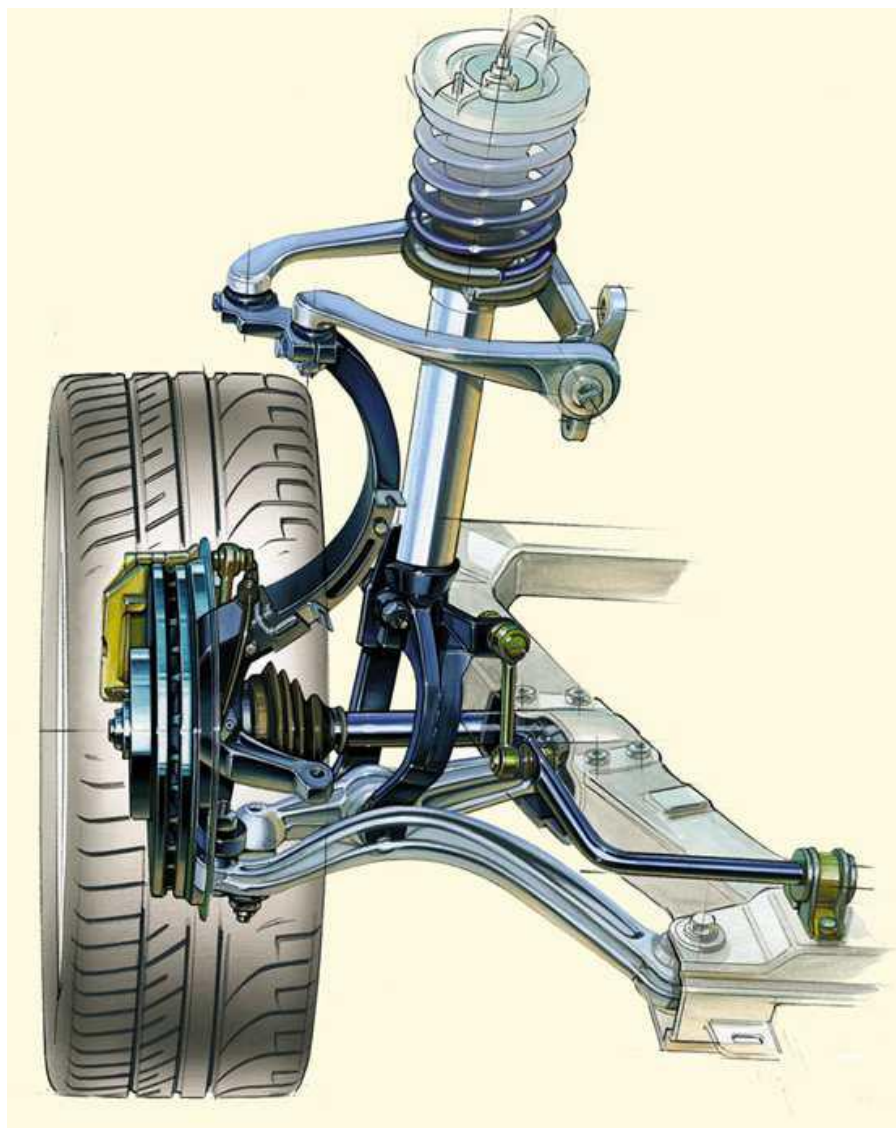


Рисунок 1.9 – Передняя многорычажная подвеска

1.2.6 Независимая подвеска на двойных поперечных рычагах

Двухрычажные подвески с 60-х годов XX века являются наиболее распространенным типом передних подвесок легковых автомобилей классической компоновки. Их преимуществами являются:

- малая неподрессоренная масса;
- относительно небольшое пространство для размещения подвески, в связи с чем, достаточно большое подкапотное пространство между короткими верхними рычагами для продольного размещения рядных и V-образных, а иногда и поперечно расположенных двигателей;

- возможность при проектировании путём выбора определённой геометрии и относительного расположения рычагов задавать основные установочные параметры подвески – изменение углов развала колёс и колеи при ходах сжатия и отбоя, высоту продольного и поперечного центров крена и другие;
- возможность противодействия изменению развала, обусловленному боковым креном кузова, при более коротких верхних рычагах подвески, что связано с наклоном колеса при ходе сжатия в сторону отрицательного развала, а при ходе отбоя – в сторону положительного;
- возможность корректирования управляемости и устойчивости автомобиля.

Кроме того, подвеска нередко монтируется на крепящейся к кузову или раме поперечине (балке), и в этом случае представляет собой отдельный агрегат в сборе, который может быть целиком установлен на автомобиль или демонтирован для ремонта или замены, что снижает трудоемкость конвейерной сборки автомобиля и замены подвески.

Рычаги подвески штампованные или кованые вильчатой формы, что в совокупности с разнесением шарниров крепления рычагов к кузову (раме) по ширине позволяет одинаково хорошо передавать как боковые, так и продольные силы. Увеличение же расстояния между рычагами по высоте позволяет снизить силы, действующие в рычагах и их опорах, и податливость деталей подвески, то есть уменьшить нагрузки на кузов, усложняя, правда, компоновку моторного отсека.

Недостатком подвески этого типа является сложность компоновки поперечно расположенных силовых агрегатов переднеприводных автомобилей из-за достаточно большого занимаемого рычагами подвески пространства, а также большое количество деталей в составе подвески.

Подвеска на двух (двойных) поперечных рычагах одинаковой длины (рисунки 1.10, а) полностью исключает изменение наклона плоскости вращения

					<i>23.03.02.2017.394 ПЗ</i>	<i>Лист</i>
<i>Изм.</i>	<i>Лист</i>	<i>№ докум.</i>	<i>Подпись</i>	<i>Дата</i>		24

противоположные концы с помощью шарниров к верхней и нижней частям ступицы.

Кинематическую схему разрабатываемой задней независимой подвески на двойных поперечных рычагах представим в виде рисунка 2.8.

Схема достаточно консервативна, но имеет ряд преимуществ и новшеств. Итак, разрабатываемая подвеска состоит из двух поперечных рычагов разной длины 2 и 3, пружины 7, амортизатора 4, буферов отбоя 8, стабилизатора поперечной устойчивости 9. Для правильной настройки углов схождения такой подвески необходимо установить её один рычаг.

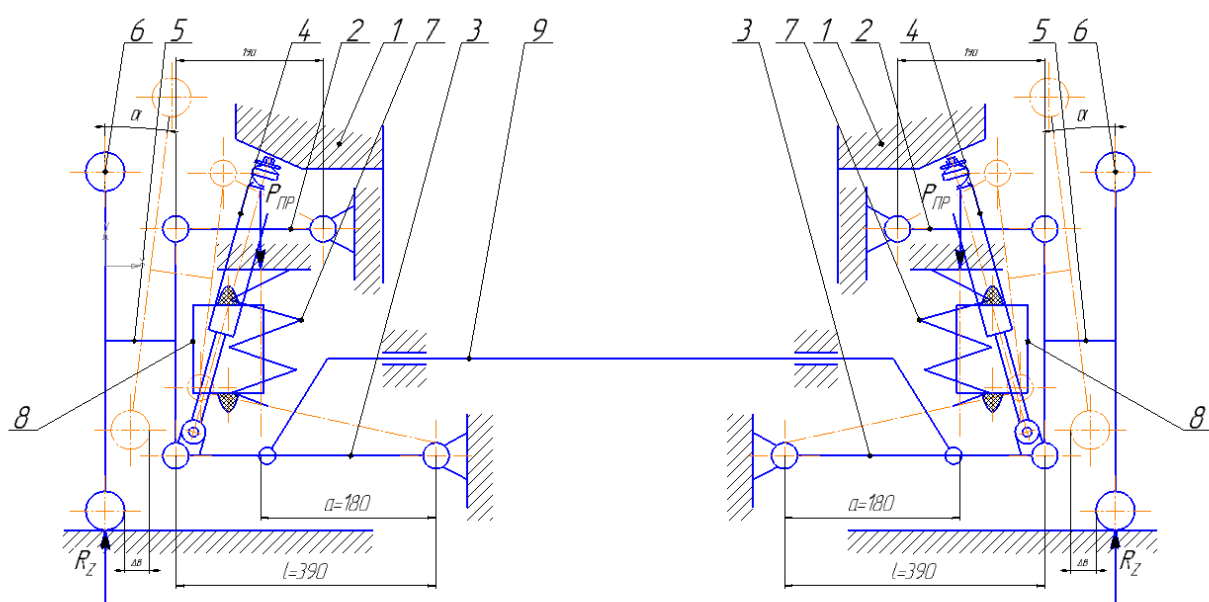


Рисунок 2.5 - Кинематическая схема разрабатываемой задней независимой подвески на двойных поперечных рычагах: 1 - кузов автомобиля; 2 - верхние рычаги; 3 - нижние рычаги; 4 - амортизаторы; 5 - ступицы колёс; 6 - колёса; 7 - пружины; 8 - буферы отбоя; 9 - стабилизатор поперечной устойчивости

2.4.1 Расчет основных параметров базового и проектируемого автомобиля

Одним из основных параметров является поворот автомобиля. Основными параметрами, характеризующими поворот автомобиля, является радиус поворота и положение центра поворота. Разберём случай поворота автомобиля категории M_1 с жёсткими колёсами.

Радиус поворота:

$$R_{\vartheta} = \frac{L}{\operatorname{tg}(\Theta - \delta_1) + \operatorname{tg}\delta_2}; \quad (2.1)$$

где L – база автомобиля, $L = 2200,0$ мм [5];

Θ – угол поворота управляемых колёс, $\Theta = 30^\circ = 0,52$ рад. [5];

δ_1 – угол увода передних колёс, $\delta_1 = 6,0^\circ$ [2];

δ_2 – угол увода задних колёс, $\delta_2 = 4,0^\circ$ [2].

$$R = \frac{2200}{\operatorname{tg}(30^\circ - 6^\circ) + \operatorname{tg}4^\circ} = 4271,01 \text{ мм};$$

где R – минимальный радиус поворота базового и проектируемого автомобиля (разворота), $R_6 = 4,27$ м

Для последующих расчётов принимаем радиус манёвра $15,0$ м. Предполагаем, что базовый автомобиль может пройти поворот при $v = 11,11$ м/с, а проектируемый может пройти поворот $v = 12,96$ м/с

При равномерном движении на повороте поперечная составляющая центробежной силы (далее принимаем радиус поворота на скорости $15,0$ м – для легковых автомобилей):

$$P_y = \frac{G \cdot v^2}{g \cdot R}; \quad (2.2)$$

$$P_{y1} = \frac{15500 \cdot 11,11^2}{9,8 \cdot 15,0} = 13,01 \text{ кН};$$

					<i>23.03.02.2017.394 ПЗ</i>	<i>Лист</i>
<i>Изм.</i>	<i>Лист</i>	<i>№ докцм.</i>	<i>Подпись</i>	<i>Дата</i>		43

Весовой стабилизирующий момент возникает вследствие поперечного наклона или оси поворота управляемого колеса.

Весовой стабилизирующий момент равен:

$$M_{CB} = G_k \cdot l_u \cdot \sin \beta_u \cdot \sin \Theta, \quad (2.4)$$

где G_k – нагрузка на колесо, $G_k = 15500/4 = 3875,0$ Н;

l_u – длина поворотной цапфы, $l_u = 0,200$ м [5];

β_u – угол оси поворота управляемого колеса, $\beta_u = 5...10^\circ$ [2];

Θ – угол поворота управляемых колёс, $\Theta = 30^\circ = 0,52$ рад. [5].

$$M_{CB1} = 3875,0 \cdot 0,20 \cdot \sin 7^\circ \cdot \sin 30^\circ = 46,88 \text{ Н} \cdot \text{м};$$

$$M_{CB2} = 4375,0 \cdot 0,20 \cdot \sin 7^\circ \cdot \sin 30^\circ = 53,32 \text{ Н} \cdot \text{м};$$

Скоростной стабилизирующий момент

$$M_{CC} = R_y \cdot r_k \cdot \sin \gamma_u \quad (2.5)$$

$$M_{CC1} = 3253,0 \cdot 0,344 \cdot 0,034 = 38,047 \text{ Н} \cdot \text{м};$$

$$M_{CC2} = 4427,0 \cdot 0,284 \cdot 0,034 = 42,747 \text{ Н} \cdot \text{м};$$

где M_{CC1} – скоростной стабилизирующий момент базового автомобиля,

M_{CC2} – скоростной стабилизирующий момент проектируемого автомобиля

Поперечная реакция дороги на переднюю и заднюю ось автомобиля при равномерном движении на повороте, Н:

$$R_y = \frac{G \cdot v^2}{g \cdot R}; \quad (2.6)$$

$$R_{y1} = \frac{3875,0 \cdot 11,11^2}{9,8 \cdot 15,0} = 3,25 \text{ кН};$$

									Лист
									45
Изм.	Лист	№ докум.	Подпись	Дата	23.03.02.2017.394 ПЗ				

листовые рессоры, которые применяются в зависимых подвесках, а наименьшую массу – торсионы. К массе неподрессоренных частей автомобиля относят 75% массы листовой рессоры и 33% массы спиральной пружины. Массу торсиона относят к поддрессоренным частям автомобиля. Соответственно наибольшую массу имеют зависимые рессорные подвески, а наименьшую – торсионные подвески (рисунок 2.7).

В данном конкретном случае рассмотрим вариант передней спроектированной двухрычажной пружинной подвески с двумя газомасляными амортизаторами. Схему сил и кинематику усилий можно представить в виде рисунка 2.8.

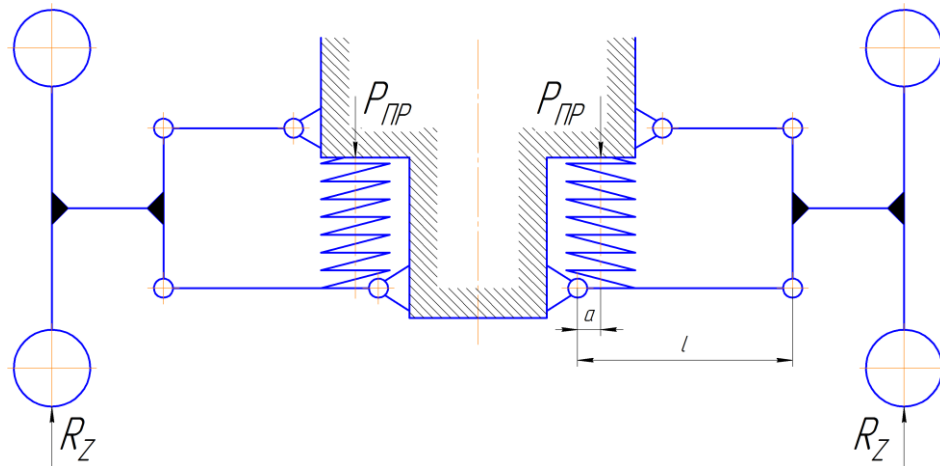


Рисунок 2.8 – Схема для определения нагрузок

Нагрузка на пружину выразится из формулы:

$$P_{\text{ПР}} = \frac{(R_z - g_k) \cdot l}{a}, \quad (2.17)$$

где l – длина нижнего рычага, $l = 0,39$ м [6];

a – расстояние от нижней шаровой опоры до оси пружины,

$a = 0,18$ м [6];

R_z – реакция поверхности, $R_z = (1/2 \cdot 15500,0)/2 = 3875,0$ Н [6];

g_k – вес колеса, $g_k = 150,0$ Н [6].

$$P_{\text{ПР}} = \frac{(3875,0 - 150,0) \cdot 0,390}{0,180} = 8070,83 \text{ Н};$$

Прогиб пружины определяется из равенства:

Далее рассчитаем ось на изгиб (рисунок 2.8).

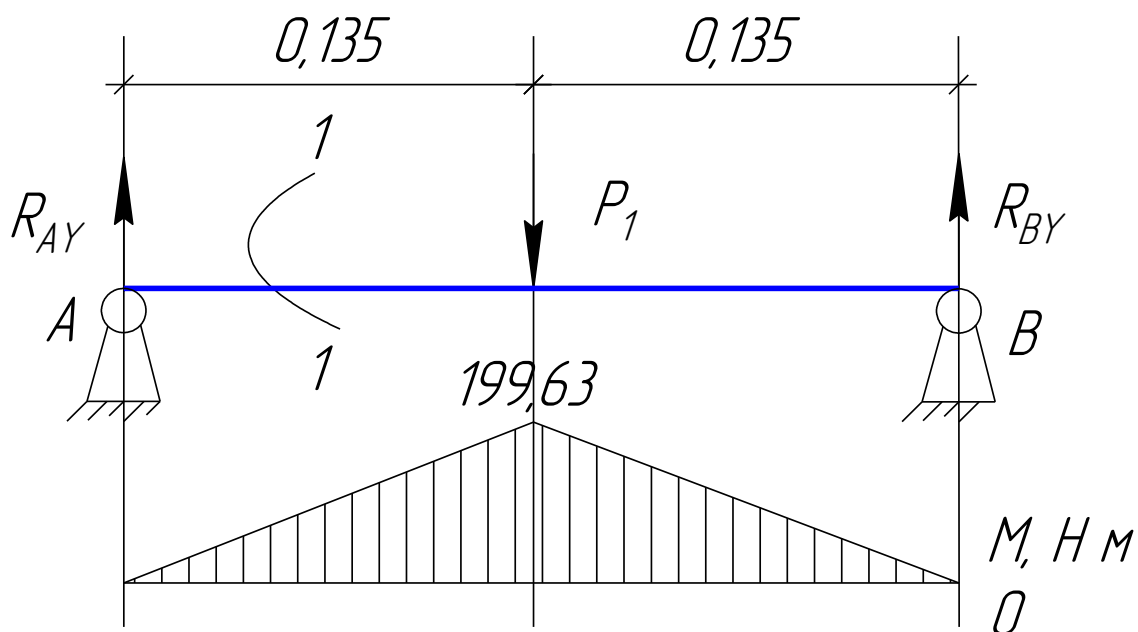


Рисунок 2.11 – Схема сил и эпюры оси верхнего рычага

$$R_{Ay} = \frac{P_1}{2}; \quad (2.23)$$

$$R_{Ay} = \frac{2957,50}{2} = 1478,75 \text{ Н};$$

$$R_{By} = \frac{P_1}{2}; \quad (2.24)$$

$$R_{By} = \frac{2957,50}{2} = 1478,75 \text{ Н}.$$

Проверка:

$$R_{By} + R_{Ay} - F_r = 1478,75 + 1478,75 - 2957,50 = 0. \quad (2.25)$$

Значения верны.

сечение 1-1:

$$(0 \leq Z_1 \leq 0,135): M_{И} = R_{Ay} \cdot Z_1; \quad (2.26)$$

$$\frac{(0 \leq Z_1 \leq 0,135)}{M_{\text{И}}} = R_{AY} Z_1;$$

$$M_{\text{И}} = 0;$$

$$M_{\text{И}} = 1478,75 \cdot 0,135 = 199,63 \text{ Н} \cdot \text{м}.$$

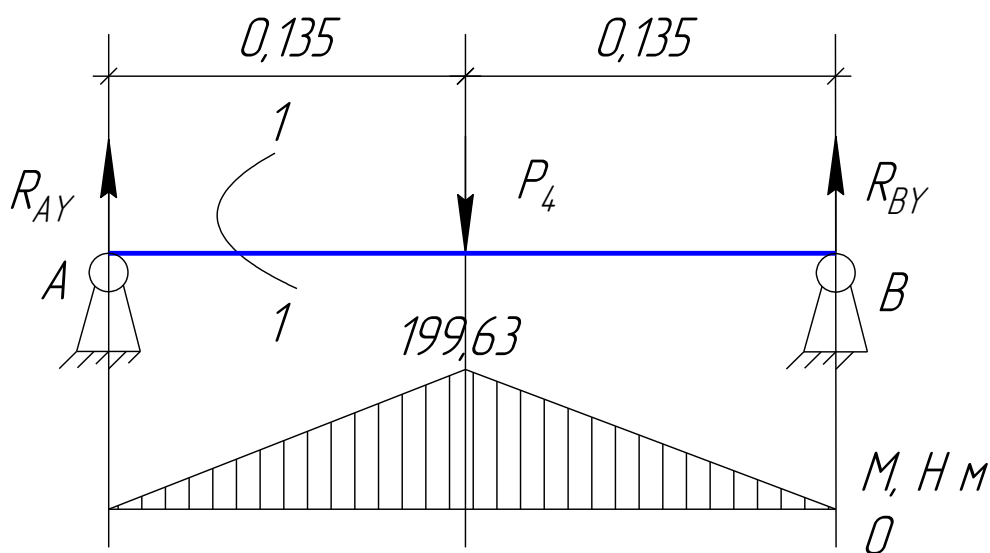


Рисунок 2.13 – Схема сил и эпюры оси нижнего рычага

Проверка опасного сечения:

$$\sigma_{\text{И}} = \frac{199,63}{0,1 \cdot 0,018^3} = 34,23 \text{ МПа};$$

$$[\sigma] = \frac{\sigma_{-1} \cdot \varepsilon}{S \cdot K_{\sigma}} \cdot K_v.$$

где ε – коэффициент влияния абсолютных размеров, $\varepsilon = 0,83$ [7];

S – коэффициент безопасности, $S = 1,3 \dots 2$ [7];

K_v – коэффициент влияния упрочнения, $K_v = 1,1$ [7];

K_{σ} – коэффициент концентрации напряжений, $\hat{E}_{\sigma} = 2,05$ [7];

$$\sigma_{-1} = 0,43 \cdot \sigma_A,$$

$K_{зат.} = 2,5 \dots 4,0$ – при переменной нагрузке [15];

χ – коэффициент внешней нагрузки.

В простейшем случае для стержней постоянного сечения:

$$\chi = \frac{\sum \lambda_{di}}{\lambda_{\delta} + \sum \lambda_{di}}; \quad (2.42)$$

$$\lambda_{\delta} = \frac{l_{\delta}}{E_{\delta} \cdot A_{\delta}}; \quad (2.43)$$

где l_{δ} – деформируемая часть стержня, $l_{\delta} = 0,024$ м;

E_{δ} – модуль упругости материала болта, $E_{\delta} = 2 \cdot 10^5$ МПа [15];

A_{δ} – площадь сечения стержня, м^2 .

$$A_{\delta} = \pi \cdot r^2; \quad (2.44)$$

$$A_{\delta} = 3,14 \cdot 0,0035^2 = 0,0000385 \text{ м}^2;$$

$$\lambda_{\delta} = \frac{l_{\delta}}{E_{\delta} \cdot A_{\delta}}; \quad (2.45)$$

$$\lambda_{\delta} = \frac{0,024}{0,0000385 \cdot 2 \cdot 10^{11}} = 311,69 \cdot 10^{11};$$

$$\chi = \frac{311,69}{311,69 + 311,69} = 0,50.$$

Тогда:

$$F_p = 2535,0 \cdot [1,3 \cdot 3,0 \cdot (1 - 0,50) + 0,50] = 6,21 \text{ кН.}$$

При статической нагрузке прочность стержня определяется по формуле:

$$\sigma = \frac{4 \cdot F_p}{\pi \cdot d_1^2} = \frac{4 \cdot 6210,75}{3,14 \cdot 0,00665^2} = 178,91 \text{ МПа} < 200,0 \text{ МПа.}$$

										Лист
										69
Изм.	Лист	№ докум.	Подпись	Дата	23.03.02.2017.394 ПЗ					

Коэффициент поперечной устойчивости равен 1,15 у базового и 1,25 у проектируемого. Критический угол поперечного угла дороги по опрокидыванию 49,09 у базового и 51,31 у проектируемого.

Расчеты показателей устойчивости и управляемости показал, что базовый автомобиль с зависимой задней подвеске, по показателям хуже, чем проектируемый автомобиль с независимой подвеской на двойных поперечных рычагах.

Произведен расчет минимальной массы. По результатам расчетов движения автомобиля даже на разбитой грунтовой дороге среднеквадратичное отклонение хода подвески составляет не более 20 мм. Когда, по правилу, достаточно иметь ход сжатия 60 мм.

Ход колеса автомобиля-прототипа составляет 0,190 м, у проектируемого автомобиля – 0,210 м, что положительно скажется на его проходимости.

Для снижения крена в подвеске применяют упругие элементы – стабилизаторы поперечной устойчивости.

Кроме того, произведен расчет верхнего и нижнего рычага, по результатам которых прочностной расчет верен и условия выполняются. Напряжение кручения вала стабилизатора поперечной устойчивости значительно меньше критических и составляет 347,75 МПа. Значения напряжения на кручения укладывается в пределы 800...1100 МПа и равен 812 МПа.

Произведен расчет оси верхнего и нижнего рычага на изгиб, по результатам которого они выдерживают требуемые нагрузки.

					<i>23.03.02.2017.394 ПЗ</i>	<i>Лист</i>
<i>Изм.</i>	<i>Лист</i>	<i>№ докум.</i>	<i>Подпись</i>	<i>Дата</i>		73

3 ТЕХНОЛОГИЧЕСКАЯ ЧАСТЬ

3.1 Обоснование размеров пружины

В выпускной квалификационной работе разработан технологический процесс изготовления пружины задней подвески (рис. 3.1). Пружина предназначена для восприятия статистических и динамических нагрузок, передаваемых на кузов от поверхности дороги при движении.

Размеры, выполнение которых должно быть точным – это диаметр прутка пружин, шаг витка, длина и диаметр пружины.

Шероховатость поверхностей не имеют особого значения и не нуждаются в обработке. Пружина изготавливается из стали 60С2А ГОСТ 14963-69.

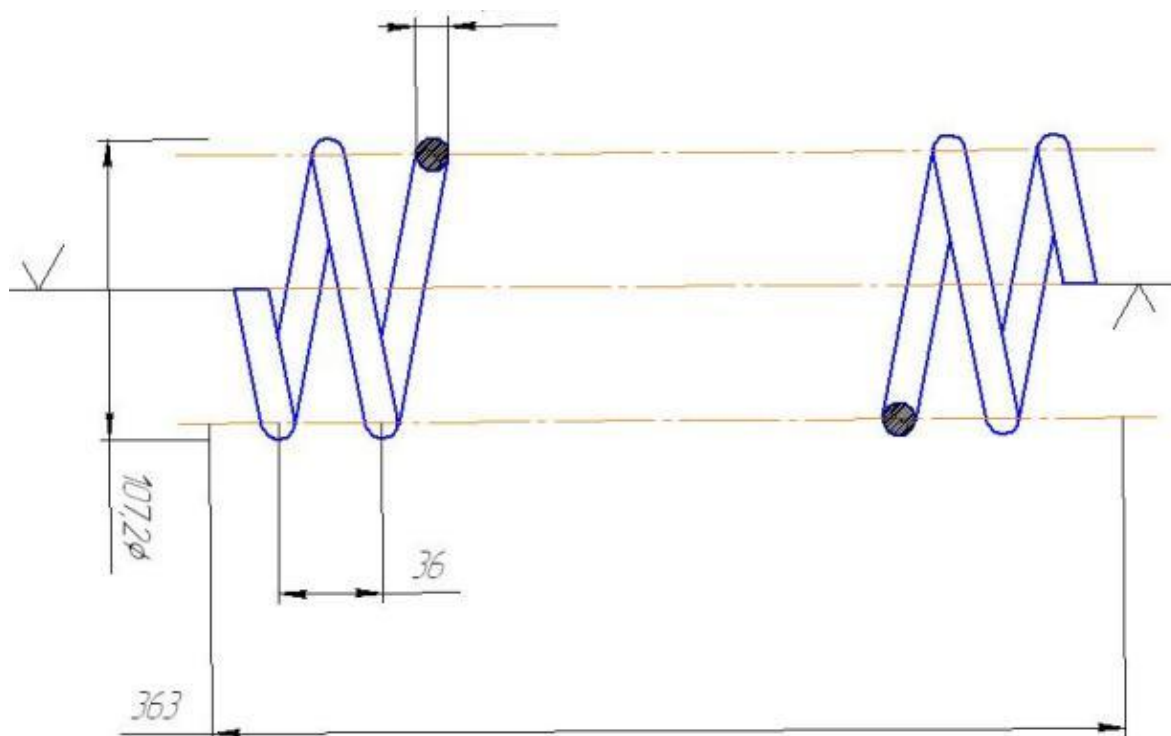


Рисунок 3.1 – Пружина

					23.03.02.2017.394 ПЗ	Лист
Изм.	Лист	№ докцм.	Подпись	Дата		74

При измерении наружного диаметра необходимо учитывать диаметр прутка – это дополнительная погрешность. Кроме того, нужно сделать поправку на толщину слоя краски, а диаметры прутка проверить на всех витках в разных доступных положениях и определить среднее значение. Сравнивая результаты измерений с данными таблицы, нужно учитывать: отклонение от номинала диаметра прутка больше чем на 0,2 мм, а внутреннего диаметра пружины на 1,5 – 2 мм повод для сомнения в соответствии характеристик пружины заданным. После замены задних пружин нужно проверить работу регулятора тормозных сил, передних пружин – углы установки колес.

3.4 Расчет режимов резания

3.4.1 Токарная операция обработки прутка

Расчет длины рабочего хода суппорта $L_{р.х.}$

$$L_{рх} = L_{рез} + y + L_{дон}, \quad (3.1)$$

где $L_{рез}$ – длина резания;

y – длины подвода, перебегов и врезания,

$$y_{подв} = 5 \text{ мм};$$

$$y_n = 330 \text{ мм};$$

$$y_{врез} = 1 \text{ мм}.$$

$$y = y_{подв} + y_n + y_{врез}; \quad (3.2)$$

$$y = 5 + 1 + 330 = 336 \text{ мм}.$$

$$L_{рез} = 336 \text{ мм}.$$

					<i>23.03.02.2017.394 ПЗ</i>	<i>Лист</i>
<i>Изм.</i>	<i>Лист</i>	<i>№ докум.</i>	<i>Подпись</i>	<i>Дата</i>		78

$$L_{\text{доп}}=0.$$

$$L_{\text{рх}} = 336 \text{ мм.}$$

Назначение подачи суппорта на оборот шпинделя S_0 в мм/об из расчета суммарной глубины резания до 5мм по стали.

$$S_0 = 0,3 \text{ мм/об;}$$

Определение стойкости инструмента.

$$T_p = T_M \cdot \chi, \quad (3.3)$$

где T_M – стойкость машинной работы;

χ – коэффициент времени резания.

$$\chi = \frac{L_{\text{рез}}}{L_{\text{рх}}} = \frac{336}{336} = 1. \quad (3.4)$$

$$T_M = 100 \text{ мин;}$$

$$T_p = 100 \cdot 1 = 100 \text{ мин, то есть } T_M = T_p.$$

Расчет скорости резания и числа оборотов шпинделя.

$$V = V_{\text{табл}} \cdot K_1 \cdot K_2 \cdot K_3, \quad (3.5)$$

где K_1 – коэффициент, зависящий от обрабатываемого материала, $K_1 = 0,75$;

K_2 – коэффициент, зависящий от стойкости и марки сплава, $K_2 = 1,25$;

K_3 – коэффициент, зависящий от вида обработки, $K_3 = 1,05$;

$V_{\text{табл}}$ – скорость резания табличная, $V_{\text{табл}} = 100 \text{ м/мин.}$

$$V = 100 \cdot 0,75 \cdot 1,25 \cdot 1,05 = 98,5 \text{ м/мин.}$$

Обороты шпинделя в минуту.

$$n = \frac{1000 \cdot V}{\pi d}; \quad (3.6)$$

$$n = 2580 \text{ об/мин.}$$

										Лист
										79
Изм.	Лист	№ докум.	Подпись	Дата	23.03.02.2017.394 ПЗ					

Расчет основного машинного времени.

$$t_M = \frac{L_{px}}{S_0 n}; \quad (3.7)$$

$$t_M = 336 / (0,3 * 2580) = 0,44 \text{ мин.}$$

3.5 Расчет норм времени

3.5.1 Токарная операция обработки прутка

Норма времени рассчитывается по следующей формуле:

$$T = T_{шт} \cdot \frac{T_{пз}}{n}, \quad (3.8)$$

где T – норма времени;

$T_{шт}$ – норма штучного времени;

$T_{пз}$ – время подготовительно-заключительное;

N – число деталей в партии.

$$T_{шт} = t_o + t_г + t_{обс} + t_{отд}, \quad (3.9)$$

где t_o – основное время;

$t_г$ – вспомогательное время;

$t_{обс}$ – время обслуживания;

$t_{отд}$ – время на отдых и личное пользование.

$$t_o = \frac{L_{px}}{n \cdot S_o}; \quad (3.10)$$

$$t_o = \frac{336}{2580 \cdot 0,3} = 0,44 \text{ мин.}$$

$$T_B = t_{уст} + t_{пер} + t_{ном}, \quad (3.11)$$

где $t_{уст}$ – время на установку, снятие;

									Лист
									80
Изм.	Лист	№ докум.	Подпись	Дата	23.03.02.2017.394 ПЗ				

$t_{пер}$ – время перехода;

$t_{ном}$ – на контрольное измерение (не учитывается, так как перекрываемое);

$t_{уст} = 0,2$ мин – в бесключевом патроне;

$t_{пер} = 0$ мин.

$T_г = 0,2$ мин.

$$T_{on} = t_г + t_o, \quad (3.12)$$

где $t_г$ – вспомогательное время;

t_o – основное время.

$$t_{on} = 0,44 + 0,2 = 0,64 \text{ мин.}$$

Время на отдых нормируется в % от t_{on} и составляет 4%.

Время на обслуживание делят на время организационного обслуживания $t_{орг}$ и время технического обслуживания $t_{тех}$, и оно составляет 8% от t_{on} .

$$t_{отд} = 0,04 \times 0,64 = 0,025 \text{ мин.};$$

$$t_{обс} = 0,08 \times 0,64 = 0,5 \text{ мин.};$$

$$T_{итт} = 0,64 + 0,5 + 0,025 = 1,165 \text{ мин.}$$

Выводы по третьей части:

Рассмотрен технологический процесс изготовления детали задней независимой подвески – пружины.

Выбраны её размеры, материал, технологический метод изготовления. Произведен расчет режимов резания и токарной обработки прутка, расчет норм времени на изготовление детали.

					<i>23.03.02.2017.394 ПЗ</i>	<i>Лист</i>
<i>Изм.</i>	<i>Лист</i>	<i>№ докцм.</i>	<i>Подпись</i>	<i>Дата</i>		82

ЗАКЛЮЧЕНИЕ

В выпускной квалификационной работе «Разработка задней независимой подвески на автомобиль ВАЗ-2121» обоснованы факторы влияющие на плавность хода, улучшение управляемости и проходимости автомобиля.

В качестве модернизации предложена задняя подвеска на двойных поперечных рычагах.

Расчеты показателей устойчивости и управляемости показали, что базовый автомобиль с зависимой задней подвеске, по показателям хуже, чем проектируемый автомобиль с независимой подвеской на двойных поперечных рычагах. Произведены кинематические расчеты разрабатываемой подвески.

Рассмотрен технологический процесс изготовления пружины задней независимой подвески.

					<i>23.03.02.2017.394 ПЗ</i>	<i>Лист</i>
<i>Изм.</i>	<i>Лист</i>	<i>№ докцм.</i>	<i>Подпись</i>	<i>Дата</i>		<i>83</i>

